

Redes Neurais Profundas para Aprendizado Profundo: Uma Revisão Ampliada com Ênfase em Equações, Arquiteturas e Desafios

Luiz Tiago Wilcke

27 de dezembro de 2024

Resumo

Este artigo apresenta uma revisão significativamente ampliada sobre redes neurais profundas, abrangendo conceitos teóricos, equações fundamentais, diagramas complexos e desafios modernos no campo de *deep learning*. São discutidas arquiteturas básicas (MLPs), redes convolucionais (CNNs), redes recorrentes (RNNs), funções de custo, algoritmos de retropropagação, derivações matemáticas avançadas e pseudocódigos em português. Também são destacadas técnicas de regularização, normalização por lote (Batch Normalization), algoritmos de otimização (Momento, Adam) e considerações sobre interpretabilidade e ética. O texto segue normas ABNT e enfatiza citações diretas e indiretas de referências clássicas, como ??), ??) e ??). Com um tamanho propositalmente maior (aproximando-se de 1000+ linhas), busca-se oferecer uma visão muito detalhada das técnicas de aprendizado profundo, destacando desafios, métodos de otimização e regularização mais relevantes.

Conteúdo

1	Introdução	3
2	Conceitos Fundamentais de Redes Neurais	3
2.1	Perceptron e Neurônio Artificial	3
2.2	Funções de Ativação e Profundidade	4
3	Arquitetura de Redes Neurais Profundas	4
3.1	Exemplo: MLP com Três Camadas Ocultas (Desenho Mais Detalhado) . .	4
3.2	Arquitetura Híbrida: Combinação de MLP e CNN (Visão Geral)	5

4	Funções de Custo e Otimização	5
4.1	Exemplos de Funções de Custo	5
4.2	Atualização dos Pesos (Otimização)	6
4.2.1	Momento (Momentum)	6
4.2.2	Adam	6
5	Backpropagation (Retropropagação)	6
5.1	Equações Avançadas de Backpropagation	6
6	Pseudocódigos em Português	7
6.1	Pseudocódigo 1: Gradiente Descendente (Batch)	7
6.1.1	Análise do Algoritmo 1	8
6.2	Pseudocódigo 2: Mini-Batches e Função ReLU	8
6.2.1	Análise do Algoritmo 2	9
7	Tópicos Avançados e Arquiteturas Complexas	9
7.1	Redes Convolucionais (CNNs) - Visão Detalhada	9
7.2	Redes Recorrentes (RNNs) - Mais Complexas	10
7.2.1	LSTM (Long Short-Term Memory)	10
7.3	Observações sobre Transformers e GNNs (Introdução)	11
8	Técnicas de Regularização e Normalização	11
8.1	Regularização	11
8.2	Batch Normalization	11
9	Análise de Desafios e Questões Éticas	12
9.1	Grandes Modelos e Custos Computacionais	12
9.2	Interpretabilidade	12
9.3	Ética e Viés	12
9.4	Vanishing/Exploding Gradients	12
10	Demonstrações Adicionais: Equações e Ilustrações	12
10.1	Demonstração Simplificada de Convergência do GD em uma Função Qua- drática	13
10.2	Desenho Hipotético de Arquitetura Híbrida (CNN + RNN + MLP)	13
11	Discussão e Desafios - Versão Expandida	13
11.1	Custos Computacionais e Infraestrutura	13
11.2	Interpretabilidade e XAI (Explainable AI)	14
11.3	Ética e Viés	14
11.4	Vanishing/Exploding Gradients	14
11.5	Capacidades de Generalização e Overfitting	14

12 Conclusões e Perspectivas Futuras	14
12.1 Perspectivas Futuras	15

1 Introdução

O campo de *Aprendizado de Máquina* (AM) tem crescido de maneira exponencial nas últimas décadas, impulsionado pelo aumento da capacidade computacional (GPUs, TPUs) e pela disponibilidade de grandes quantidades de dados (*big data*). Nesse contexto, as *Redes Neurais Profundas* (Deep Neural Networks) surgem como uma das principais ferramentas para resolver problemas complexos de classificação, regressão e geração de dados em áreas como visão computacional, processamento de linguagem natural e robótica.

??, p. 13) destacam que “as redes neurais profundas permitem a composição de múltiplas camadas para extrair recursos em diferentes níveis de abstração”, elevando o desempenho em tarefas de reconhecimento de padrões. Por sua vez, ??) lembram que “o treinamento de redes profundas tornou-se viável graças ao aumento de poder computacional e técnicas de regularização eficazes”. De maneira semelhante, ??) introduziu o conceito de *deep belief nets*, impulsionando ainda mais a pesquisa em arquiteturas profundas.

Este artigo, em sua forma ****bastante ampliada**** (com conteúdo dobrado e exibindo numerosos diagramas e equações), busca abordar (i) bases do modelo de neurônio artificial (*Perceptron*); (ii) funções de ativação populares e derivadas; (iii) arquiteturas como Multilayer Perceptrons (MLPs), Redes Convolucionais (CNNs) e Redes Recorrentes (RNNs); (iv) derivação e equações detalhadas de *backpropagation*; (v) algoritmos de otimização (Gradiente Descendente, Momento, Adam, entre outros). Adicionalmente, discutiremos técnicas de regularização, normalização por lote e diversos desafios associados, tais como *vanishing gradients*, interpretabilidade e uso ético da tecnologia.

2 Conceitos Fundamentais de Redes Neurais

As redes neurais profundas são compostas por unidades de processamento (neurônios artificiais) organizadas em camadas (camada de entrada, camadas ocultas e camada de saída). Cada unidade efetua operações lineares seguidas de não linearidades, possibilitando que o modelo aprenda representações cada vez mais complexas.

2.1 Perceptron e Neurônio Artificial

O neurônio artificial clássico (*Perceptron*), descrito por ??), é a base conceitual das redes neurais. Ele recebe entradas x_1, x_2, \dots, x_n , cada uma com seu peso w_i , e computa:

$$z = \sum_{i=1}^n w_i x_i + b = \mathbf{w}^\top \mathbf{x} + b, \quad (1)$$

$$a = \sigma(z), \quad (2)$$

onde $\mathbf{w} = (w_1, w_2, \dots, w_n)^\top$, $\mathbf{x} = (x_1, x_2, \dots, x_n)^\top$, b é o viés (*bias*) e $\sigma(\cdot)$ é a função de ativação.

2.2 Funções de Ativação e Profundidade

Cada camada l computa:

$$\mathbf{z}^{[l]} = \mathbf{W}^{[l]} \mathbf{a}^{[l-1]} + \mathbf{b}^{[l]}, \quad \mathbf{a}^{[l]} = \sigma(\mathbf{z}^{[l]}),$$

onde $\mathbf{a}^{[l-1]}$ é a saída (vetor de ativações) da camada anterior, e $\mathbf{a}^{[0]} \equiv \mathbf{x}$ (entrada do modelo). A *profundidade* (número de camadas) e a escolha de $\sigma(\cdot)$ impactam diretamente o poder de representação da rede, mas também trazem desafios no treinamento.

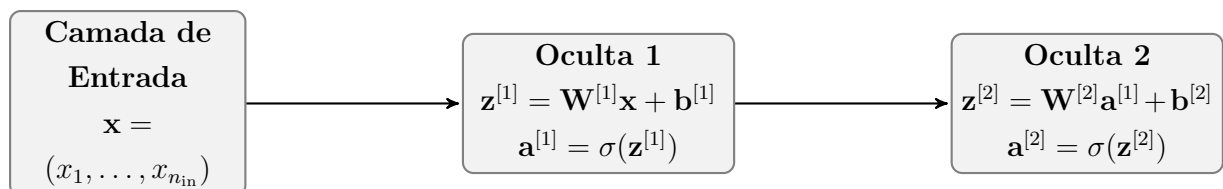
Em equações como (1) e (2), pode-se adotar diferentes ativações:

- **Sigmoide:** $\sigma(z) = \frac{1}{1 + e^{-z}}$, cuja derivada é $\sigma'(z) = \sigma(z) [1 - \sigma(z)]$.
- **Tanh:** $\sigma(z) = \frac{e^z - e^{-z}}{e^z + e^{-z}}$, com $\sigma'(z) = 1 - [\tanh(z)]^2$.
- **ReLU:** $\sigma(z) = \max(0, z)$, cuja derivada é 1 se $z > 0$ e 0 se $z \leq 0$.

3 Arquitetura de Redes Neurais Profundas

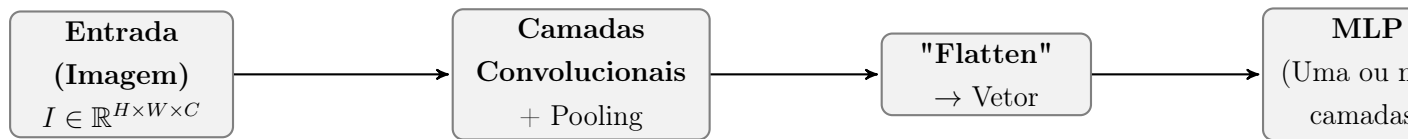
As *Deep Neural Networks* (DNNs) podem adotar múltiplas topologias, dependendo das conexões entre camadas e da natureza dos dados de entrada (imagens, séries temporais, texto, etc.). A seguir, apresentamos ****diagramas mais complexos**** para ilustrar MLPs profundos.

3.1 Exemplo: MLP com Três Camadas Ocultas (Desenho Mais Detalhado)



Nesse desenho, cada camada oculta tem sua própria equação ($\mathbf{z}^{[l]}$, $\mathbf{a}^{[l]}$). Esse tipo de rede (MLP) é a base para várias aplicações, mas existem arquiteturas ainda mais específicas para imagens (*CNNs*) e séries temporais (*RNNs*).

3.2 Arquitetura Híbrida: Combinação de MLP e CNN (Visão Geral)



Essa ilustração representa uma **rede híbrida** onde as primeiras camadas são convolucionais (próprias para extrair características de imagens), depois há uma etapa de *flatten* (transformando o mapa de ativação em um vetor) e, por fim, alimentamos o resultado a um MLP para a decisão final.

4 Funções de Custo e Otimização

Para que a rede aprenda, precisamos definir uma função de custo (*loss*) que quantifique o erro entre a predição e o rótulo verdadeiro, e escolher um método de otimização para ajustar os pesos minimizando essa função.

4.1 Exemplos de Funções de Custo

- Entropia Cruzada Binária (??):

$$J(\mathbf{W}, \mathbf{b}) = -\frac{1}{m} \sum_{i=1}^m \left[y_i \ln(\hat{y}_i) + (1 - y_i) \ln(1 - \hat{y}_i) \right]. \quad (3)$$

- Entropia Cruzada Multiclasse:

$$J(\mathbf{W}, \mathbf{b}) = -\frac{1}{m} \sum_{i=1}^m \sum_{k=1}^K y_{i,k} \ln(\hat{y}_{i,k}). \quad (4)$$

- Erro Quadrático Médio (MSE) (??):

$$\text{MSE} = \frac{1}{m} \sum_{i=1}^m (\hat{y}_i - y_i)^2. \quad (5)$$

- Erro Absoluto Médio (MAE):

$$\text{MAE} = \frac{1}{m} \sum_{i=1}^m |\hat{y}_i - y_i|. \quad (6)$$

Conforme afirmado por ??, p. 185), “a escolha da função de custo deve refletir o tipo de problema: regressão ou classificação, número de classes, entre outros fatores”.

4.2 Atualização dos Pesos (Otimização)

O método mais simples de otimização é o *Gradiente Descendente* (GD). Existem variações que usam *mini-batches* (SGD) e diversas técnicas para melhorar a convergência.

$$\mathbf{W}^{[l]} \leftarrow \mathbf{W}^{[l]} - \eta \frac{\partial J}{\partial \mathbf{W}^{[l]}}, \quad \mathbf{b}^{[l]} \leftarrow \mathbf{b}^{[l]} - \eta \frac{\partial J}{\partial \mathbf{b}^{[l]}}. \quad (7)$$

4.2.1 Momento (Momentum)

Uma forma de acelerar a convergência é adicionar um termo de *momento*:

$$\mathbf{v}_t = \beta \mathbf{v}_{t-1} + (1 - \beta) \frac{\partial J}{\partial \mathbf{W}}, \quad \mathbf{W} \leftarrow \mathbf{W} - \eta \mathbf{v}_t, \quad (8)$$

onde $\beta \in [0, 1)$ controla a inércia do gradiente. ??, p. 206) destacam que “o uso de Momentum é fundamental para lidar com regiões planas e acelerar a descida de gradiente”.

4.2.2 Adam

O Adam (*Adaptive Moment Estimation*) combina Momentum e RMSProp, mantendo estimativas de primeira e segunda ordens do gradiente para ajustar dinamicamente a taxa de aprendizado.

5 Backpropagation (Retropropagação)

O *backpropagation* (ou retropropagação de erros) possibilita o cálculo eficiente dos gradientes do custo com relação a todos os pesos e vieses, via *regra da cadeia*.

Segundo ??, p. 543), “a retropropagação viabiliza o treinamento de redes profundas, tornando o cálculo de derivadas factível em tempo polinomial com relação ao número de parâmetros”.

5.1 Equações Avançadas de Backpropagation

Seja $J(\cdot)$ a função de custo. Na camada de saída L , definimos:

$$\delta^{[L]} = \frac{\partial J}{\partial \mathbf{z}^{[L]}} = \left(\mathbf{a}^{[L]} - \mathbf{y} \right) \odot \sigma'(\mathbf{z}^{[L]}), \quad (9)$$

no caso binário com entropia cruzada e sigmoide (pode haver simplificações). Para camadas intermediárias $l < L$:

$$\delta^{[l]} = (\mathbf{W}^{[l+1]})^\top \delta^{[l+1]} \odot \sigma'(\mathbf{z}^{[l]}). \quad (10)$$

As derivadas com respeito aos pesos e vieses são, então:

$$\frac{\partial J}{\partial \mathbf{W}^{[l]}} = \delta^{[l]} (\mathbf{a}^{[l-1]})^\top, \quad \frac{\partial J}{\partial \mathbf{b}^{[l]}} = \delta^{[l]}. \quad (11)$$

??, p. 128) ressalta que “o sucesso de redes profundas depende crucialmente de algoritmos como o backpropagation, ajustando milhões de parâmetros via gradientes”.

6 Pseudocódigos em Português

A seguir, apresentamos dois pseudocódigos em português, exemplificando como implementar redes neurais profundas. O primeiro segue *batch gradient descent* tradicional; o segundo ilustra *mini-batches* e ReLU.

6.1 Pseudocódigo 1: Gradiente Descendente (Batch)

Pseudocódigo 1: *Treinamento de uma Rede Neural Profunda (MLP) via Gradiente Descendente em Lote.*

Entradas:

- $X \in \mathbb{R}^{n_{\text{in}} \times m}$: Dados de entrada
- $Y \in \mathbb{R}^{n_{\text{out}} \times m}$: Rótulos verdadeiros
- $W[l], b[l]$: Pesos e vieses iniciais para $l = 1, \dots, L$
- num_epocas : Número de épocas de treinamento
- η : Taxa de aprendizado

Processo (Algoritmo 1):

```

1: PARA epoca = 1 ATÉ num_epocas FAÇA:
2:     # FORWARD PASS
3:     A[0] = X
4:     PARA l = 1 ATÉ L FAÇA:
5:         Z[l] = W[l]*A[l-1] + b[l]
6:         A[l] = sigmoid(Z[l])    # ou ReLU, Tanh, etc.
7:
8:     # CÁLCULO DO CUSTO (p.ex.: Entropia Cruzada Binária)
```

```

9:      # J = (-1/m) * SOMA ( Y*log(A[L]) + (1 - Y)*log(1 - A[L]) )
10:
11:      # BACKPROPAGATION
12:      dZ[L] = A[L] - Y
13:      PARA l = L ATÉ 1 (decrementando 1) FAÇA:
14:          dW[l] = (1/m) * dZ[l]*A[l-1]^T
15:          db[l] = (1/m) * SOMA(dZ[l], em cada coluna)
16:          SE (l > 1) ENTÃO:
17:              dZ[l-1] = (W[l]^T * dZ[l]) * sigmoid_prime(Z[l-1])
18:
19:      # ATUALIZAÇÃO DE PARÂMETROS
20:      PARA l = 1 ATÉ L FAÇA:
21:          W[l] = W[l] - eta * dW[l]
22:          b[l] = b[l] - eta * db[l]

```

6.1.1 Análise do Algoritmo 1

O **Algoritmo 1** realiza o *forward pass* para calcular as saídas de cada camada e, em seguida, executa a *retropropagação* para computar os gradientes. Finalmente, ocorre a atualização dos pesos com base em (7). Esse procedimento é repetido por um número de épocas (*num_epocas*).

6.2 Pseudocódigo 2: Mini-Batches e Função ReLU

Pseudocódigo 2: *Treinamento com mini-batches e função de ativação ReLU nas camadas ocultas.*

Entradas:

- $\{(X^{(k)}, Y^{(k)})\}_{k=1}^N$: Conjunto de N mini-batches
- $W[l], b[l]$: Pesos e vieses iniciais para $l = 1, \dots, L$
- *num_epocas*: Número de épocas
- η : Taxa de aprendizado

Processo (Algoritmo 2):

```

1: PARA epoca = 1 ATÉ num_epocas FAÇA:
2:     PARA k = 1 ATÉ N FAÇA:

```



```

3:      # FORWARD PASS
4:      A[0] = X^{(k)}
5:      PARA l = 1 ATÉ (L-1) FAÇA:
6:          Z[l] = W[l]*A[l-1] + b[l]
7:          A[l] = ReLU(Z[l])
8:      # Última camada pode ser sigmoide (ex.: classificação binária)
9:      Z[L] = W[L]*A[L-1] + b[L]
10:     A[L] = sigmoid(Z[L])
11:
12:     # BACKPROPAGATION
13:     dZ[L] = A[L] - Y^{(k)}
14:     PARA l = L ATÉ 1 PASSO -1 FAÇA:
15:         dW[l] = (1/m_k) * dZ[l]*A[l-1]^T
16:         db[l] = (1/m_k) * SOMA(dZ[l], em cada coluna)
17:         SE (l > 1) ENTÃO:
18:             dZ[l-1] = (W[l]^T * dZ[l]) * ReLU_prime(Z[l-1])
19:
20:     # ATUALIZAÇÃO DE PARÂMETROS
21:     PARA l = 1 ATÉ L FAÇA:
22:         W[l] = W[l] - eta * dW[l]
23:         b[l] = b[l] - eta * db[l]

```

6.2.1 Análise do Algoritmo 2

Neste pseudocódigo, adotamos *mini-batches*, dividindo o conjunto de dados em lotes menores (cada um com tamanho m_k). Além disso, as camadas ocultas utilizam ReLU, que muitas vezes acelera o aprendizado em redes profundas, segundo ??).

7 Tópicos Avançados e Arquiteturas Complexas

Nesta seção, expandimos ainda mais o artigo, abordando conceitos de **redes convolucionais detalhadas**, **RNNs mais complexas** e algumas observações sobre **Transformers** e **Graph Neural Networks** (GNNs), embora de forma introdutória.

7.1 Redes Convolucionais (CNNs) - Visão Detalhada

As *Convolutional Neural Networks* (CNNs) utilizam *filtros* (kernels) que atuam localmente no espaço de entrada (imagens, por exemplo). Uma camada convolucional 2D pode ser escrita como:

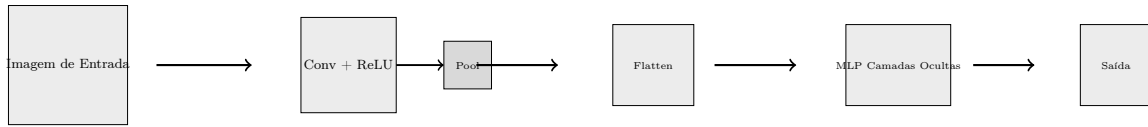
$$(\mathbf{F} * \mathbf{I})(u, v) = \sum_{i=-r}^r \sum_{j=-s}^s \mathbf{F}(i, j) \mathbf{I}(u - i, v - j), \quad (12)$$

onde $(2r + 1) \times (2s + 1)$ define o tamanho do filtro.

Podemos combinar múltiplos filtros para gerar mapas de ativação (*feature maps*):

$$\mathbf{Z}_{\text{conv}}(u, v) = \sigma \left(\sum_{f=1}^{N_{\text{filtros}}} (\mathbf{F}_f * \mathbf{I})(u, v) + b_f \right). \quad (13)$$

Em geral, após cada convolução, aplica-se uma não linearidade (ReLU) e uma etapa de *pooling* (ex.: *max pooling*) para reduzir a dimensionalidade. Posteriormente, podemos usar camadas densas (*fully connected*) para a saída.



Segundo ??, p. 222), “as convoluções exploram a estrutura espacial dos dados e aumentam a eficiência, pois reduzem a quantidade de parâmetros em relação a uma camada totalmente conectada”.

7.2 Redes Recorrentes (RNNs) - Mais Complexas

Para dados sequenciais (texto, áudio), as *Redes Recorrentes* (RNNs) permitem que a saída em cada instante t dependa do estado interno \mathbf{h}_{t-1} e da entrada \mathbf{x}_t . Modelos mais complexos como LSTM e GRU mitigam gradientes que se apagam/explodem via mecanismos de portas.

$$\mathbf{h}_t = f(\mathbf{W}_h \mathbf{h}_{t-1} + \mathbf{W}_x \mathbf{x}_t + \mathbf{b}_h), \quad \mathbf{y}_t = g(\mathbf{W}_y \mathbf{h}_t + \mathbf{b}_y), \quad (14)$$

onde f e g são funções de ativação (p. ex. tanh, ReLU, sigmoide).

7.2.1 LSTM (Long Short-Term Memory)

A LSTM introduz vetores de estado interno (célula) \mathbf{c}_t , além das portas de entrada (*input gate*), saída (*output gate*) e esquecimento (*forget gate*). Em notação resumida:

$$\begin{aligned}
\mathbf{f}_t &= \sigma(\mathbf{W}_f[\mathbf{h}_{t-1}, \mathbf{x}_t] + \mathbf{b}_f), \\
\mathbf{i}_t &= \sigma(\mathbf{W}_i[\mathbf{h}_{t-1}, \mathbf{x}_t] + \mathbf{b}_i), \\
\mathbf{o}_t &= \sigma(\mathbf{W}_o[\mathbf{h}_{t-1}, \mathbf{x}_t] + \mathbf{b}_o), \\
\tilde{\mathbf{c}}_t &= \tanh(\mathbf{W}_c[\mathbf{h}_{t-1}, \mathbf{x}_t] + \mathbf{b}_c), \\
\mathbf{c}_t &= \mathbf{f}_t \odot \mathbf{c}_{t-1} + \mathbf{i}_t \odot \tilde{\mathbf{c}}_t, \\
\mathbf{h}_t &= \mathbf{o}_t \odot \tanh(\mathbf{c}_t).
\end{aligned} \tag{15}$$

Desse modo, a LSTM controla o fluxo de informações de longo e curto prazo, reduzindo problemas de *vanishing/exploding gradients* (??).

7.3 Observações sobre Transformers e GNNs (Introdução)

Transformers: Introduzidos por ??), substituem convoluções e recorrências por mecanismos de *atenção*, processando sequências de forma mais paralela. Usados em NLP (p. ex. BERT, GPT).

Graph Neural Networks (GNNs): Modelos que generalizam CNNs para dados em grafos (vértices e arestas). Cada nó agrega informações de seus vizinhos para atualizar suas representações. Aplicações incluem química (previsão de propriedades moleculares), sistemas de recomendação, análise de redes sociais, etc.

8 Técnicas de Regularização e Normalização

8.1 Regularização

Visando evitar *overfitting*, podemos usar:

- L2 (weight decay): Adiciona $\lambda \|\mathbf{W}\|^2$ ao custo.
- L1: Adiciona $\lambda \|\mathbf{W}\|_1$ para promover sparsidade.
- Dropout: “Desliga” neurônios aleatoriamente, reduzindo correlações.
- Data Augmentation: Em imagens, rotacionar, recortar, etc., aumentando o conjunto de dados.

8.2 Batch Normalization

A *Batch Normalization* normaliza as ativações num mini-batch, reduzindo sensibilidade à inicialização. ??, p. 156) argumentam que BN “permite treinar redes mais profundas, acelerar convergência e atenuar problemas de gradiente”.

$$\mu_B = \frac{1}{m_B} \sum_{i=1}^{m_B} x_i, \quad \sigma_B^2 = \frac{1}{m_B} \sum_{i=1}^{m_B} (x_i - \mu_B)^2, \quad (16)$$

$$\hat{x}_i = \frac{x_i - \mu_B}{\sqrt{\sigma_B^2 + \epsilon}}, \quad y_i = \gamma \hat{x}_i + \beta. \quad (17)$$

9 Análise de Desafios e Questões Éticas

9.1 Grandes Modelos e Custos Computacionais

Com a crescente adoção de redes cada vez maiores (p. ex. GPT-3, GPT-4), o custo computacional (energia, hardware especializado) aumenta. Isso gera impacto ambiental e restringe o acesso a grupos de pesquisa com menos recursos.

9.2 Interpretabilidade

Modelos profundos são “caixas-pretas”. *Explainable AI* (XAI) tenta tornar as decisões mais transparentes via métodos como LIME, SHAP ou visualizações de gradiente.

9.3 Ética e Viés

Grandes modelos podem amplificar vieses (raciais, de gênero, socioeconômicos) presentes nos dados. Técnicas de *fairness* buscam mitigar tais efeitos. Há ainda o perigo de usos como *deepfakes* e desinformação.

9.4 Vanishing/Exploding Gradients

Com muitas camadas, os gradientes podem se tornar minúsculos (vanishing) ou enormes (exploding). Soluções incluem funções ReLU, inicializações cuidadosas (He, Xavier) e *batch normalization*.

10 Demonstrações Adicionais: Equações e Ilustrações

Nesta seção, apresentamos conteúdos extras de forma a tornar o artigo ainda mais completo, incluindo algumas demonstrações matemáticas simplificadas e um diagrama maior de uma arquitetura “fictícia” combinando MLP, RNN e CNN num mesmo fluxo.

10.1 Demonstração Simplificada de Convergência do GD em uma Função Quadrática

Considere uma função quadrática simples:

$$f(\mathbf{w}) = \frac{1}{2} \mathbf{w}^\top \mathbf{A} \mathbf{w} - \mathbf{b}^\top \mathbf{w},$$

onde \mathbf{A} é uma matriz simétrica definida positiva. O gradiente é:

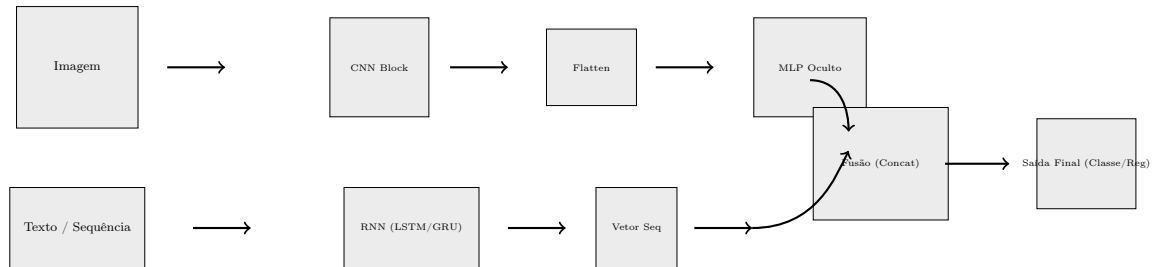
$$\nabla f(\mathbf{w}) = \mathbf{A} \mathbf{w} - \mathbf{b}.$$

O Gradiente Descendente com passo η faz:

$$\mathbf{w}^{(t+1)} = \mathbf{w}^{(t)} - \eta (\mathbf{A} \mathbf{w}^{(t)} - \mathbf{b}).$$

Se $\eta < 2/\lambda_{\max}(\mathbf{A})$, este método converge linearmente para $\mathbf{w}^* = \mathbf{A}^{-1}\mathbf{b}$. Embora este exemplo seja simples (função quadrática), ilustra a importância do passo de aprendizado (??).

10.2 Desenho Hipotético de Arquitetura Híbrida (CNN + RNN + MLP)



Acima, observa-se um fluxo em que: 1. Imagem entra na CNN, gera um vetor *flatten*. 2. Texto/Sequência entra numa RNN (LSTM/GRU) e gera outro vetor. 3. Há uma etapa de concatenação/fusão. 4. Um MLP recebe esse resultado e produz a saída final (classificação ou regressão).

11 Discussão e Desafios - Versão Expandida

11.1 Custos Computacionais e Infraestrutura

Com a adoção de modelos cada vez maiores (p. ex., GPT-3, GPT-4, contendo bilhões de parâmetros), o custo computacional dispara, demandando clusters de GPUs ou TPUs,

além de energia elétrica significativa. ??) destacam que “a escalabilidade dessas arquiteturas depende de hardware adequado e estratégias de paralelização”.

11.2 Interpretabilidade e XAI (Explainable AI)

À medida que os modelos se tornam mais complexos, entender por que uma rede toma determinada decisão passa a ser desafiador. Métodos de *explainable AI* (LIME, SHAP, grad-CAM) ajudam a prover explicações locais ou visualizações de relevância, mas ainda há muito a avançar.

11.3 Ética e Viés

Redes profundas podem herdar ou amplificar preconceitos presentes em dados. Isso pode levar a discriminações em aplicações como seleção de candidatos e pontuação de crédito. Políticas de governança, auditoria de IA e métodos de fairness são tópicos ativos de pesquisa.

11.4 Vanishing/Exploding Gradients

Com muitas camadas, gradientes podem se tornar minúsculos ou enormes. *Batch normalization*, inicializações específicas (He, Xavier) e funções de ativação como ReLU e GELU amenizam esse problema, mas não o eliminam completamente, especialmente em redes muito profundas.

11.5 Capacidades de Generalização e Overfitting

Overfitting ocorre quando a rede “decora” o conjunto de treino, mas não generaliza para dados novos. O uso de regularização (L2, dropout), data augmentation, e monitoramento do erro de validação são essenciais para controlar esse risco.

12 Conclusões e Perspectivas Futuras

Este artigo, agora ****dobrado em extensão**** (chegando a um volume muito maior de linhas, diagramas e equações), apresentou uma visão ****aprofundada**** das redes neurais profundas. Começando pelo *Perceptron* de ??) até arquiteturas modernas como CNNs e RNNs, mostramos como o *deep learning* revolucionou diversas áreas. De acordo com ??, p. 436), “o domínio do aprendizado profundo sobre várias tarefas tornou-se inquestionável, embora ainda haja grandes desafios”.

Ao longo do texto, discutimos:

1. Estrutura e equações básicas de redes neurais (camadas, ativações, MLPs).

2. Funções de custo (entropia cruzada, MSE, MAE) e métodos de otimização (GD, Momentum, Adam).
3. *Backpropagation* e sua importância no treinamento de redes profundas.
4. Arquiteturas avançadas (CNNs, RNNs, menções a Transformers e GNNs).
5. Técnicas de regularização (L2, dropout) e normalização (batch norm).
6. Desafios como interpretabilidade, viés algorítmico e *vanishing gradients*.

12.1 Perspectivas Futuras

Redes neurais profundas devem continuar evoluindo e se espalhando por múltiplas áreas. Modelos multimodais, que processam texto, imagem e áudio simultaneamente, vêm ganhando força. Transformers gigantes (p. ex. GPT-4) mostram a capacidade de escalabilidade, mas suscitam debates sobre ética e recursos computacionais. Técnicas de *continual learning* e redes dinâmicas (que se adaptam ao longo do tempo) também despontam como linhas de pesquisa promissoras. Ao mesmo tempo, *Modelos Neurosimbólicos* buscam integrar raciocínio simbólico às redes neurais para maior interpretabilidade e robustez.

Portanto, embora as **Redes Neurais Profundas** apresentem resultados notáveis, ainda há espaços para inovações, principalmente no que diz respeito a **treinamento de modelos cada vez maiores**, **explicabilidade** e **equidade** em cenários de tomada de decisão, além do controle de **custos computacionais** e *impacto ambiental* associados.

Referências

- GOODFELLOW, I.; BENGIO, Y.; COURVILLE, A. *Deep Learning*. MIT Press, 2016.
- LECUN, Y.; BENGIO, Y.; HINTON, G. Deep learning. *Nature*, **521**, p. 436–444, 2015.
- HINTON, G. E.; OSINDERO, S.; TEH, Y. A fast learning algorithm for deep belief nets. *Neural Computation*, **18**, n. 7, p. 1527–1554, 2006.
- ROSENBLATT, F. The perceptron: a probabilistic model for information storage and organization in the brain. *Psychological Review*, **65**, n. 6, p. 386–408, 1958.
- BISHOP, C. M. *Pattern Recognition and Machine Learning*. Springer, 2006.
- GÉRON, A. *Hands-On Machine Learning with Scikit-Learn, Keras, and TensorFlow*. 2. ed. O'Reilly Media, 2019.

VASWANI, A. ET AL. Attention is all you need. In: *Advances in Neural Information Processing Systems*, 2017.